

γ -Alumina로부터 吸着質의 热脱着에 関한 研究

文世基, 金炯辰, 沈埜輔

漢陽大学校 工科大学 化学工学科

(1983년 8월 8일 접수, 1983년 12월 9일 채택)

Thermal Desorption Study of Adsorbates from γ -Alumina

Sei-Ki Moon, Hyung-Jin Kim and Joon-Bo Shim

Department of Chemical Engineering, College of
Engineering, Hanyang University

(Received 8 August 1983; accepted 9 December 1983)

要 約

吸着温度, 20°C에서 Gas Chromatograph를 利用하여 benzene, Cyclohexane, methylalcohol, ethylalcohol, n-propylalcohol 및 iso-propylalcohol을 각각 吸着시킨 γ -alumina 表面에 대하여 热脱着을 研究하였다. 吸着剤를 一定昇温率(5~15°C/min)로 20°C에서부터 350°C까지 승온시키면서 脱着되는 物質을 T.C.D로 感知하였다. 이때 나타나는 脱着曲線으로부터 γ -alumina 표면에서의 活性点과 温度上昇에 의한 脱着相의挙動 및 吸着剤-吸着質間의 相互作用 등에 대하여 調査하였으며, 曲線의 最大点의 温度(T_m)을 利用하여 脱着의 速度論的因子인 脱着活性化에너지(E_d)와 빙도인자(K_o)를 구하였다. 알콘올類에 대한 脱着曲線으로부터 γ -alumina 表面에 性質이 다른 2 가지의 活性点이 存在함을 確認할 수 있었다.

γ -alumina에 대한 Cyclohexane의 化学吸着은 일어나지 않았다. 実驗結果 脱着速度는 피복율(θ)에 대하여 1次라고 볼 수 있었다.

Abstract— Thermal desorption has been studied on γ -alumina which adsorbed adsorbates, such as benzene, cyclohexane, methylalcohol, ethylalcohol, n-propylalcohol and iso-propylalcohol, separately at 20°C with Gas Chromatographic apparatus. As the temperature of adsorbent was raised from 20°C to 350°C with the constant heating rates (5-15°C/min), the species on adsorbent surface were desorbed, and thermal conductivity detector was employed to monitor the desorbate in effluent gas. The thermal desorption chromatogram was investigated to obtain the information about the active sites, behavior of desorbed phase with increasing temperature and the adsorbate-adsorbent interaction. By means of the temperature at peak maximum, T_m , the desorption kinetic parameters, e.g., activation energy of desorption and frequency factor were determined.

It was found that γ -alumina had two kinds of active sites different in their property for alcohols. Experimental results represented that the desorption rate was first order with respect to the surface coverage.

1. 緒論

触媒로서의 活性을 갖고있을 뿐만아니라 觸媒製造時 담체로도 많이 사용되는 알루미나는 그 製造方法이나 結晶性등에 의하여 여러가지로 分類된다[1]. 그 중에서도 η -alumina와 γ -alumina는 本質으로 弱酸性을 나타내며 比較的 表面積이 크고 觸媒反応의 온도범위에서 热安定性이 크며 처리온도에 의해 酸度가 변화되기도 한다[1, 2]. 固体觸媒의 表面酸度는 活性의 變化와 관계되며 Peri 와 Hall등은 酸点의 形態에 대하여 研究한 바 있다[1~6]. 또한, 매우 純度가 높은 알루미나는 水素-重水素의 交換, ethylene의 水素化, 異性質化 및 炭化水素의 热分解反応에 대해 活性을 갖는다 [7~11].

生成物의 脱着이 윤속단계인 非均一 觸媒反応에서 生成物의 濃度增加를 測定하여 바로 前段階(吸着과 表面反応段階)에 대한 速度論的情報을 얻는 것은 거의 不可能하다. 그러나 热脫着을 利用하면 速度論에 대한 報報를 얻을 수도 있으며 活性点이 에너지적으로 不均一할 때 強度에 따라 윤속단계의 결정이 가능하다.

초기의 热脫着研究는 금속표면에 O₂, CO, H₂, N₂ 등의 간단한 기체를 吸着質로 使用한 flash filament desorption 方法으로 Erlich등[12]의 많은 사람들에 의하여 研究되었는데, 1963년에 Amenomiya 와 Cvetanovic[13, 14]등은 酸化物 觸媒表面에 대하여 热脫着을 처음 도입하였으며 이때 실험조건이 촉매반응에 사용되는 조건과 매우 유사하다. 吸着質의 化學吸着과 脱着速度를 각각 研究하므로써 촉매반응의 윤속단계를 결정할 수 있다[15]는 사실과 热脫着方法이 산화물촉매에 대한 화학흡착과 같은 氣固系의 상호작용 및 표면반응을 연구하는데 유효함을 알았다.

따라서 본연구에서는 觸媒活性이 있는 γ -alumina에 benzene, Cyclohexane, methylalcohol, ethylalcohol, n-propylalcoho 및 iso-propylalcohol을 흡착시키고 热脫着을 행하여 얻은 脱着曲線으로부터 脱着活性화에너지(Ed)와 빈도인자(K_o)를 구하여 吸着剤-吸着質間의 상호작용과 γ -alumina 표면위의 活性点 및 온도상승에 의한 脱着相이 거동등을 考察하였다. 또한 그 表面特性으로 인하여 촉매로

많이 사용되는 Molecular Sieve 13X를 사용하여 γ -alumina에서 얻은 結果와 比較 檢討하였다.

2. 理論

固体吸着剤 表面에 흡착된 吸着質의 脱着速度를 측정하여 결정할 수 있다. 흡착제 표면위를 점유하고 있는 피복율(θ)은 승온하여 탈착시킬 경우 시간과 온도에 의존하여 변화하므로 $\theta = \theta(t, T)$ 로 놓을 수 있다. 吸着剤 細孔內의 拡散을 무시하고 탈착은 피복율에 대하여 1次일 경우 脱着相에서의 物質収支[14]는

$$-V_m \frac{\partial \theta}{\partial t} = V_m Kd\theta - KaC(1-\theta) \quad \dots \dots \dots (1)$$

$$FC = V_s V_m Kd\theta - V_s KaC(1-\theta) \quad \dots \dots \dots (2)$$

으로 된다. 一定昇温率, β (°C/min)을 사용하여 열탈착시킬 경우 吸着剤의 온도는 시간에 따라 線型적으로 증가하므로

$$T = T_0 + \beta t \quad \dots \dots \dots (3)$$

로 관계지을 수 있다. 式(3)에서

$$dT = \beta dt \quad \dots \dots \dots (4)$$

가 되고 式(4)와 式(1)로부터

$$-V_m \beta \frac{d\theta}{dT} = V_m Kd\theta - KaC(1-\theta) \quad \dots \dots \dots (5)$$

이 式(5)를 式(2)에 대입하면

$$C = -\frac{V_s V_m \beta d\theta}{F \cdot dT} \quad \dots \dots \dots (6)$$

이 된다. 式(6)은 脱着時 동반기체내의 흡착질의 농도는 脱着速度에 비례함을 보여준다. 式(2)와 式(5)에서 우변에 있는 둘째 항은 脱着時와 再吸着을 고려한 항이다. 본 실험에서 사용한 흡착제의 量은 30mg이며 반응기의 직경을 고려할 때 흡착제 중의 두께는 매우 작으므로(≈ 2 mm) 脱着時의 再吸着을 무시하면 式(5)는 다음과 같이 간단히 표시된다.

$$-\frac{d\theta}{dT} = \frac{K_a}{\beta} \cdot \theta \quad \dots \dots \dots (7)$$

여기서, 탈착의 속도상수(K_d)는 온도만의 函数이므로 Arrhenius식에 의하여

$$K_d = K_0 \exp(-E_d/RT) \quad \dots \dots \dots (8)$$

로 주어지며 따라서 式(7)은

$$-\frac{d\theta}{dT} = \frac{K_0 \theta}{\beta} \exp(-E_d/RT) \quad \dots \dots \dots (9)$$

으로 된다. 실험에서 얻은 탈착곡선에서 최대점은

동반기체내에서 탈착된 吸着質의 농도가 최대일 때
 즉 脱着 温度가 최대일 때이므로 $\frac{dC}{dT} = 0$, 또는 $\frac{d^2\theta}{dT^2} = 0$ 의 관계를 적용할 수 있으며 최대점에서의 온도를 T_m 이라 하면 식(9)는 다음과 같이 된다.

$$(K_d)_m = K_0 \exp(-E_d/RT_m) = \beta E_d/RT_m^2 \dots \dots \dots (10)$$

식(10)의 양변을 自然對數로 取하면

의結果式이 얻어진다. 실험에서 상온율을 변화시키고, 이때 나타나는 T_m 으로부터 $\ln(T_m^2/\beta)$ 對 $1/T_m$ 을 도시하여 E_d 를 결정할 수 있으며 K_0 도推定可能하다.

3. 実験

본 실험에 사용된 装置은 Fig. 1에 나타내었다. 실험에서 選定한 흡착질은 芳香族 化合物인 benzene(日本, 紙正化学製) Cyclohexane(日本, 化学純藥工業製) 一級試薬과 알코올類로는 methylalcohol(日本, 林純工業製, 特級), ethylalcohol(日本, 島久藥品製), n-propylalcohol(日本, 関東化学製) isopropylalcohol(日本, 化光純藥工業製) 一級 試薬

이었다. 또한 吸着剤인 γ -alumina는 住友化学工業(日本)製品이며 Molecular Sieve 13X는 Union Carbide社의 faujasite type zeolite로서 입자형인 시료를 전기로에서 예비건조한 뒤 분쇄하여 40~60mesh 통과분을 취하고 다시 400°C로 8시간 동안 前處理한 다음 이를 30mg평량하여 Pyrex 유리로 제작한 U자형의 반응기에 충전시키고(10mmφ × 2 mm) 350°C로 2시간 동안 가열하여 活性화시켰다. 이때 zeolite trap을 지나 水分이 제거된 헬륨 기체를 10ml/min로 통과시켜 흡착제 표면의 수분이나 기타 불순물을 제거하였다. 활성화과정이 끝난뒤 헬륨 기체의 유속을 30ml/min로 고정시키고 20°C에서 각 吸着質을 micro-syringe로 3 μ l 取하여 100°C로 가열한 시료 주입구에 주입하면 액상인 흡착질은 기화된 다음 동반기체에 운반되어 吸着剤表面에 気相吸着된다. 흡착후 일정 시간이 경과한 뒤 일정승온율($\beta = 5 \sim 15^{\circ}\text{C}/\text{min}$)로 350°C까지 가열하여 탈착시키고, Gas-Chromatograph(Gow-Mac., model 69-550)를 이용하여 脱着曲線을 얻었다. 이때 컬럼은 空컬럼을 사용하였다. 반응기 吸着剤器에 C-A열전대를 附着하여 온도를 측정하였다.

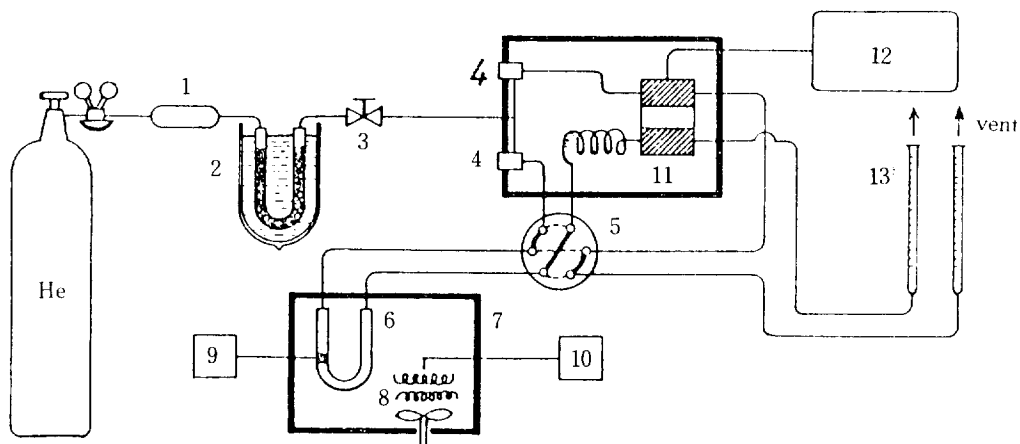


Fig. 1. Schematic diagram of the experimental apparatus for thermal desorption

- | | | |
|-------------------------|----------------------------|--------------------------|
| 1. Molecular sieve trap | 6. Reactor | 11. Thermal conductivity |
| 2. Liquid nitrogen trap | 7. Furnace | detector |
| 3. Needle valve | 8. Heater | 12. Recorder |
| 4. Injection ports | 9. Thermocouple | 13. Soap-film flowmeter |
| 5. Sampling valve | 10. Temperature programmer | |

4. 結果 및 考察

본 연구에서 행한 γ -alumina 및 Molecular Sieve 13X에 대한 芳香族 炭化水素인 벤젠과 Cyclohexane, -OH基를 갖는 알코올類의 熱脫着曲線의 대표적인 형태를 Fig. 2 ~Fig. 4에 나타내었다. 각 그림은 온도상승에 의해 탈착된 흡착질의 농도 즉 탈착속도이다. 상온율이 5, 8, 12 및 15°C/min로 증가함에 따라 탈착곡선의 최대점이 높은 온도영역으로 이동하므로 升溫率에 依存함을 알 수 있다. 이 결과를 Table 1과 Table 2에 수록하였다. 또한 곡선의 형태도 탈착속도가 승온율의 영향을 받아 승온율이 클수록 曲線의 幅이 좁고 날카로운 형태가 된다. 이때 탈착곡선의 면적은 탈착되는 量 즉 吸着量에 해당되며 실험결과 동일조건하에서 승온율에 관계없이 일정하다.

Fig. 2와 Table 1에서 보는 바와 같이 벤젠은 70°C ~ 93°C 사이에서 최대점을 갖는 单一曲線으로 나타난 반면 Cyclohexane의 탈착곡선이 나타나지 않는 것으로 보아 실험범위내에서 Cyclohexane은 γ -alumina 표면에 化学吸着하지 않음을 알 수 있다. 이들 탈착곡선의 결과로부터 명확히 구분되는 벤젠과 Cyclohexane의 吸着特性의 차이는 π -結合을 하고 있는 벤젠이 Alumina 표면의 OH群과 벤젠의 π 궤도내의 電子와의 상호작용에 의하여結合을 형성하므로써 흡착되기 때문이다[16, 17]. 한편, γ -alumina에 대한 알코올류의 탈착곡선은 최대점이 2개인 형태를 갖는다. 이때 저온영역의 곡선을 peak I, 그보다 높은 온도영역의 곡선을 peak II라

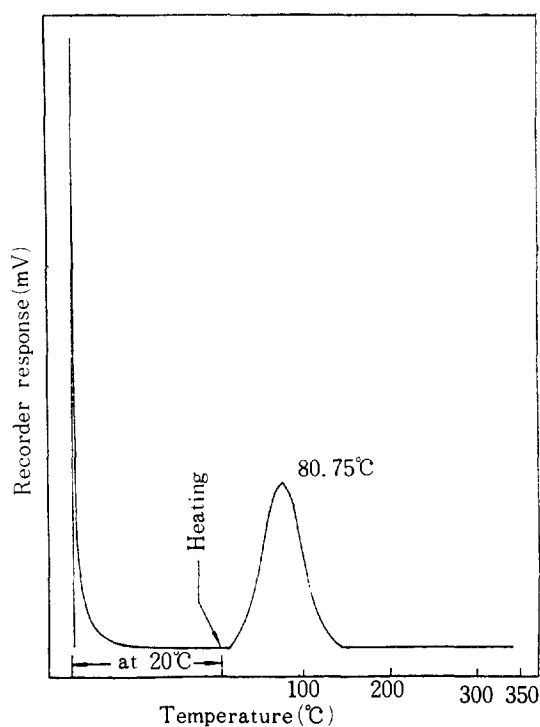


Fig. 2. Thermal-desorption chromatogram of benzene on γ -Alumina (30mg) at $T_{ad} = 20^\circ\text{C}$. Heating rate, $\beta = 8^\circ\text{C}/\text{min}$, Range : 4

고 표시하면, Peak I의 최대점은 4개의 알코올 모두가 승온율에 따라 70°C ~ 100°C 사이에서 나타났으며, Peak II는 서로 다르게 나타났다. 또한 Peak의 크기는 Peak I의 거의 일정한 반면에 methyl-, ethyl-, n-propyl-, isopropyl alcohol의順으로 Peak II의 크기가 증가하였다. 이와같이 알코올類

Table 1. Dependence of T_m (K) upon various heating rate for γ -Alumina

Adsorbates	Heating rate, β (°C/min)			
	$\beta_1 = 5$	$\beta_2 = 8$	$\beta_3 = 12$	$\beta_4 = 15$
Benzene	342.55	353.75	362.20	366
Methylalcohol	peak I 355.31	368.33	376.62	380.30
	peak II 427.31	443.33	456.62	463.30
Ethylalcohol	peak I 344.73	352.33	360.27	363.67
	peak II 519.73	537.33	542.27	553.67
n-propylalcohol	peak I 344.33	361.63	369.30	377.50
	peak II 494.33	506.63	514.30	522.50
iso-propylalcohol	peak I 355.26	363.25	366.52	370.18
	peak II 440.26	458.25	466.52	472.18

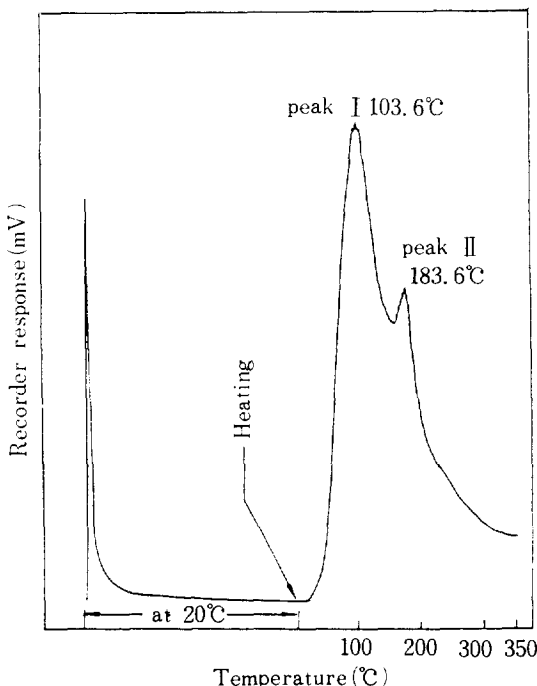


Fig. 3. Thermal-desorption chromatogram of MeOH on γ -Alumina (30mg) at $T_{ad} = 20^\circ\text{C}$
Heating rate, $\beta = 12^\circ\text{C}/\text{min}$, Range: 4

의 열탈착곡선이 2개의 최대점을 갖는 현상은 γ -alumina 표면에 에너지 적으로 다른 2종의活性点이 존재하는 것으로 생각된다. 또한 脱着의活性화에너지 E_d 가 θ 의 함수로變化하는 경우에도 热脱着曲線이 2개의 Peak를 가질 수 있으나[36] 本研究의 경우에는 해당되지 않는 것으로理解된다. 이미低炭素 올레핀의 γ -alumina上에서의热脱着實驗[18]에 의해 γ -alumina에는 두 가지 형태의 흡착 활성점이 존재하는 것으로 알려져 있다. 또한Gree-ner[19]와 Jeziorksi[20] 및 Lorenzelli 등에[21, 22] 의 한 γ -alumina와 hematite 표면에서의 알코올의吸着狀態에 대한 IR結果도 고체표면의 주위분위기에 의해 표면활성점의變化可能性을 뒷받침해 주고 있다. 이러한 다른種의活性点은吸着剤表面의酸度와 밀접한 관계가 있으리라 예상된다. 실제로 불균일촉매에서 균일Site의分布는 FT-IR/PAS 및 NMR에 의해 확인된다[23, 24]. alumina에는 Lewis酸点과 Brönsted酸点이 1:1로 존재하며[25] 이에 대응하는 Base Site가 존재하나[26] 표면에 존재하는 Lewis산점의 약 6%에 해당하는 Site와 Br-

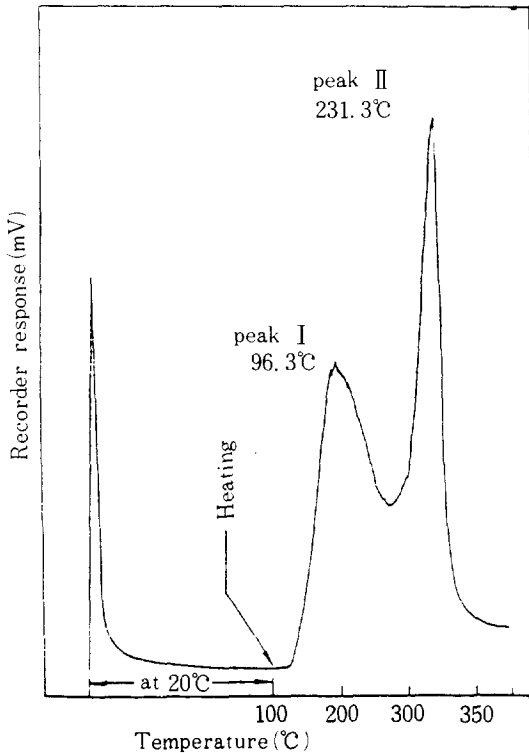
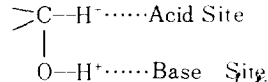


Fig. 4. Thermal-desorption chromatogram of n-propylOH on γ -Alumina (30mg) at $T_{ad} = 20^\circ\text{C}$. Heating rate, $\beta = 12^\circ\text{C}/\text{min}$, Range: 8

onsted산점은 약간 감지될 정도로 미미한 것인바[25] alumina 표면에는 대표적으로 Lewis산점과 Base Site의 두 종류의 Site가 1:1로 존재한다고 볼 수 있다. 특히 alumina상에서의 알코올의吸着狀態는



로 표시할 수 있으며 알코올의脱水反應은 Acid Site 흡착에 기인하여脱水素反應은 Base Site에 기인함을 알 수 있다[27].

한편, Molecular Sieve 13X에 대한 벤젠, Cyclohexane 및 알코올류의 탈착곡선은 1개의 최대점을 갖는 단일곡선으로 나타난다. 실제로 faujasite type Zeolite에는 대표적으로 세 종류의 Site가 존재하는 것으로 알려져 있으나[1] 본 실험 결과는 Site I에 선택적으로 흡착된다는 사실을 확인해 주는 것으로 볼 수 있다. 또한 동일한 흡착질의 γ -al-

Table 2. Dependence of T_m (K) upon various heating rate for Molecular sieve 13X.

Adsorbates	Heating rate, β (°C/min)			
	$\beta_1 = 5$	$\beta_2 = 8$	$\beta_3 = 12$	$\beta_4 = 15$
Benzene	425.55	438.75	447.20	453
Cyclohexane	380.55	394.75	401.20	406
Methylalcohol	408.06	423.90	436.04	442.60
Ethylalcohol	428.73	445.33	454.27	461.67
n-propylalcohol	479.53	506.98	521.78	532.08
iso-propylalcohol	479.14	497.04	510.23	519.83

umina와 Molecular Sieve 13X에 대한 탈착곡선의 면적을 비교하면 Molecular Sieve 13X가 훨씬 큼을 알 수 있다. 이는 결정성인 zeolite가 alumina보다 구조상의 독특한 성질에 의하여 흡착질을 받아들일 수 있는活性点이 많이 존재하기 때문이다[28, 29] 그리고 γ -alumina에서는 볼 수 없었던 Cyclohexane의 脱着曲線이 나타난다[Table 2]

위와같이 탈착곡선에 대한 解析과 아울러 본 연구에서는 곡선의 최대점온도와 그때의 각 상온율을 이용하여 식(11)의 관계로부터 脱着의 速度論的因素인 脱着活性화에너지(E_d)와 빙도인자(K_o)를 구하고자 하였다. 탈착활성화에너지는 흡착된 물질의 에너지 상태로 보아야 하며 본 연구에서는 E_d 값을 비교하여 흡착체-흡착질간의 상호작용을 고찰하였다. 한편, 非均一触媒反應의 速度論의 이해석을 위하여 TGA를 이용한 연구[30]와 촉매의 酸度와 活性化에너지의 관계[31] 및 活性化에너지와 脱着量에 의한 酸点의 분포 및 強度를 조사한 연구[32]도 있다.

Fig. 5는 γ -alumina와 Molecular Sieve 13X에 대한 벤젠의 탈착곡선으로부터 식(11)에 의하여 $\ln(T_m^2/B)$ 对 $1/T_m$ 의 관계를 圖示한 것으로 비교적 좋은 직선성을 나타내며 피복율 변화에 따른 탈착곡선 최대점의 온도변화가 없었으므로($\Delta T_m = 0$) 탈착속도는 피복율에 대해 1차로 볼 수 있었다[33] 뿐만아니라 앞의 탈착곡선들은 T_m 을 기준으로 저온영역으로 비대칭 분포되어 있어 속도식에서 가정한 1차와 잘 일치한다[34].

본 실험에서 사용한 각 吸着質을 γ -alumina(Fig. 6)와 Molecular Sieve 13X(Fig. 7)에 대하여 식(11)의 관계를 도시하고, 이로부터 얻은 活性化에너지

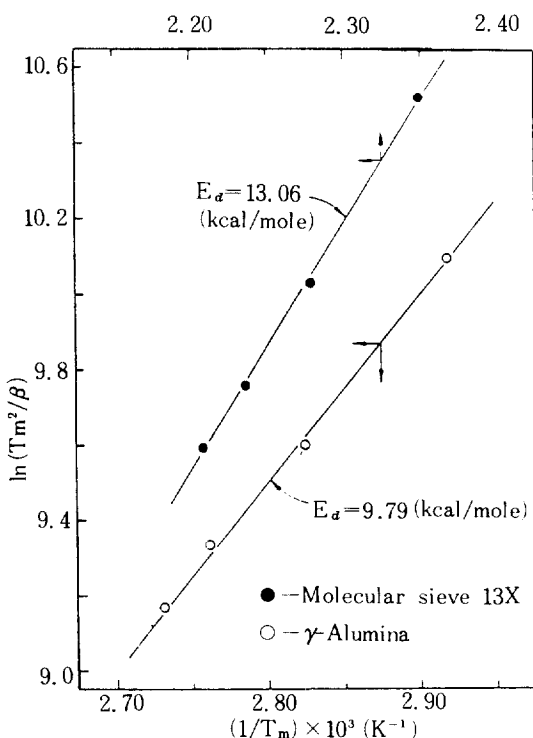


Fig. 5. Plots of $\ln(T_m^2/\beta)$ vs $1/T_m$ for benzene on γ -Alumina and Molecular sieve 13X.

와 빙도인자의 값을 Table 3에 수록하였다. 또한, Molecular Sieve 13X에 대한 E_d 값을 비교하기 위하여 이미 발표된 NaY zeolite를 사용하여 얻은 E_d 값[35]도 함께 실었다. 이를 結果로 볼 때 吸着溫度, 20°C에서 벤젠이 γ -alumina보다는 Molecular Sieve 13X에 더 강하게 化學吸着됨을 알 수 있다. 알코올류의 경우에는 γ -alumina와 더 작용력이 크게 나타났으며 13X에서는 NaY에 대한 E_d 값과 거의 유사하였으며 경향도一致하였다. 절편

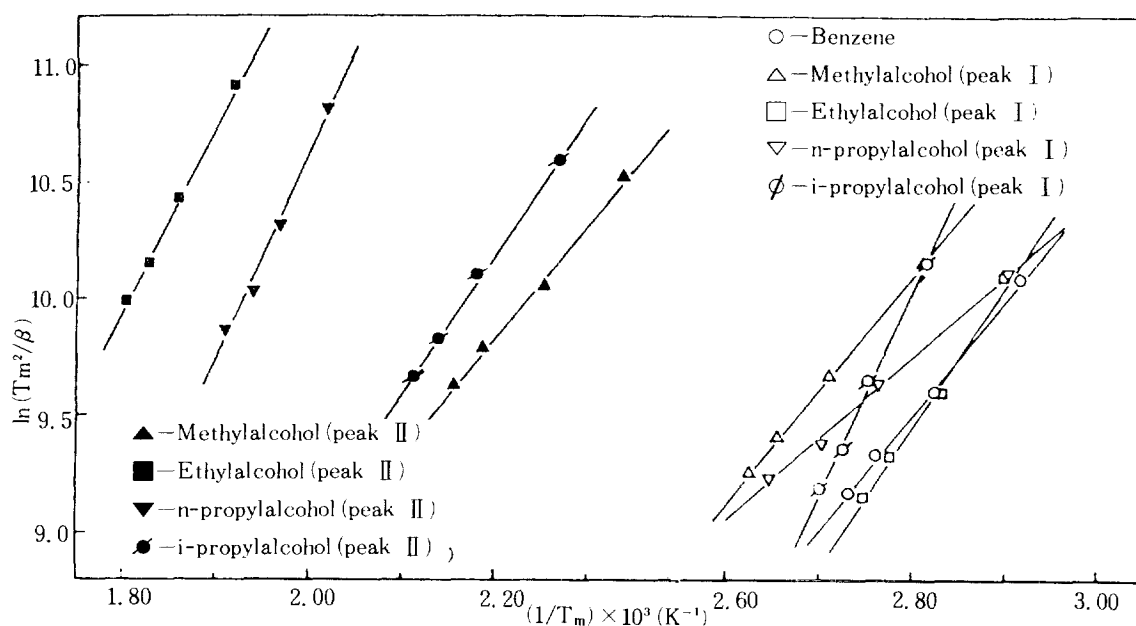
Fig. 6. Plots of $\ln(T_m^2/\beta)$ versus $1/T_m$ for adsorbates on γ -Alumina (30mg)

Table 3. Activation energy of desorption, Ed and frequency factor, ko (Tad = 20°C)

Adsorbents	Adsorbates	Ed (kcal/mole)	Ko (sec ⁻¹)	·Ed* (kcal/mole)
γ -Alumina	Benzene	9.79	3.6×10^5	
	Cyclohexane	
	MeOH peak I	9.60	1.5×10^5	
	peak II	9.56	1.0×10^4	
	EtOH peak I	12.26	1.5×10^7	
	peak II	15.96	6.9×10^5	
	n-pro peak I	6.83	3.1×10^3	
	peak II	17.49	9.7×10^6	
	iso-propylOH peak I	16.84	7.5×10^6	
	peak II	11.56	7.9×10^4	
Molecular sieve 13X	Benzene	13.06	9.2×10^5	11.0
	Cyclohexane	11.30	5.7×10^5	10.4
	MeOH	9.12	1.0×10^4	9.9
	EtOH	10.92	5.5×10^4	11.4
	n-propylOH	8.05	4.0×10^2
	iso-propylOH	11.24	1.6×10^4

* Values obtained by S. K. Moon et al. on Sodium Y type Zeolite, Tad=50°C

으로부터 구한 Ko의 값은 $10^4 \sim 10^6$ 사이에 존재하며 C_2H_6 , C_3H_8 , 및 C_4H_10 등에 대하여 얻은 값[14]과 거의 일치하였다.

結論

이들結果로부터 本研究에서는 다음과 같은 结

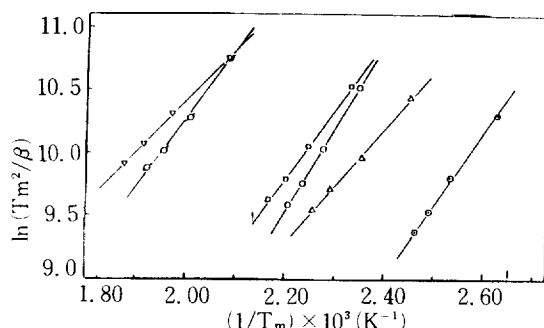


Fig. 7. Plots of $\ln(T_m^2/\theta)$ versus $1/T_m$ for adsorbates on Molecular sieve 11X
 ○—Benzene ●—Cyclohexane
 △—Methylalcohol □—Ethylalcohol
 ▽—n-propylalcohol ♦—iso-propylalcohol

論을 얻었다.

1. 一定量의 吸着質을 吸着시킨 후 一定昇温率에 의해 然脱着을 행함으로써 脱着의 速度論的 困子 및 触媒의 表面持性에 대한 情報를 얻는데 有用함을 알았다.

2. 吸着温度, 20°C에서 벤젠은 γ -alumina보다 Molecular Sieve 13X에 더 강하게 化學吸着 되고 알코올類는 γ -alumina와 더 작용력이 큼을 알았다. 또한 γ -alumina에 대한 Cyclohexane의 化學吸着은 일어나지 않았다.

3. 알코올類의 脱着으로부터 γ -alumina 표면에는 에너지적으로 다른 2種의 活性点이 存在 함을 알 수 있었다.

감 사

本研究의 遂行을 위하여 신진정착 연구비를 지원해 준 韓國科學財團에 감사를 드립니다.

* Nomenclature *

- C : Concentration of the adsorbate in the carrier gas (mole/cm^3)
- Ed : Activation energy of desorption (kcal/mole)
- F : Carrier gas flow rate (ml/sec)
- Ka : Rate constant of adsorption (sec^{-1})
- Kd : Rate constant of desorption (sec^{-1})
- ko : Frequency factor (sec^{-1})

- R : Gas constant ($\text{cal}/\text{mole} \cdot \text{K}$)
- t : Time (sec)
- T : Temperature (K)
- T_m : Temperature at peak maximum (K)
- T₀ : Temperature before heating (K)
- V_m : The amount of adsorbate adsorbed per unit volume of the solid phase when $\theta = 1$ (mole/cm^3)
- V_s : The volume of the solid phase in the adsorbent bed (cm^3)
- θ : Surface coverage (-)
- β : Constant heating rate ($^\circ\text{C}/\text{sec}$)

* Reference *

1. Gates, B. C. Katzer, J. R. and Schuit, G. C. A. : "Chemistry of Catalytic Processes," McGraw-Hill, New York, 1979.
2. Satterfield, C. N. : "Heterogeneous Catalysis in Practice," McGraw-Hill, New York, 1980.
3. Peri, J. : J. Phys. Chem., 69 (1965), 211, 220, 231.
4. Peri, J. : J. Catal., 41 (1976), 227.
5. Hall, W. K., Leftin, H. P., Cheselske, F. J. and O'Reilly, D. E. : J. Catal., 2 (1963), 506.
6. Anderson, J. R. : "Structure of Metallic Catalysis," Academic, New York, 1975. p. 52.
7. Hindin, S. G. and Weller, S. W. : J. Phys. Chem., 60 (1956), 1501.
8. Holm, V. C. F. and Blue, R. W. : Ind. Eng. Chem., 43 (1951), 501, .
9. Weller, S. W. and Hindin, S. G. : J. Phys. Chem., 60 (1956), 1506.
10. Gerderich, H. R. and Hall, W. K. : J. Catal., 5 (1966), 99.
11. Hajl, W. K., Lutinski, F. W. and Gerberich, H. R. : J. Catal., 3 (1964), 512. Hall
12. Erlich, G. : Advan. Catalysis, 14 (1963), 256.
13. Amenomiya, Y. and Cvitanovic, R. J. : J. Phys. Chem., 67 (1963), 144, 2705, 2046.
14. Cvitanovic, R. J. and Amenomiya, Y. : Advan.

- Catalysis, 17(1967), 103.
15. Carberry, J. J. : "Chemical and Catalytic Reaction Engineering" McGraw-Hill, New York, 1976.
16. Galkin, G. A. Kiselev, A. V. and Lygin, V. I. : Trans. Faraday Soc., 60(1964), 431.
17. Haaland, David M. : Surface Science, 102(1981), 405.
18. Amenomiya, Y. Chenier, J. H. B. and Cvetanovic, R. J. : J. Catal., 9(1967), 28.
19. Greenler, R. G. : J. Chem. Phys., 37(1962), 2094.
20. Jeziorowski, H., Knözinger, H., Meye, W. and Muller, H. D. : J. Chem. Soc. Faraday Trans. I., 69(1973), 1744.
21. Lorenzelli, V., Busca, G., and Sherppard, N. : J. Catal., 66(1980), 28.
22. Busca, G. and Lorenzelli, V. : J. Catal., 66(1980), 155.
23. McClelland, J. F. : Anal. Chem. 55(1983), 90A.
24. Riseman, Stephen M. Bandyopadhyay, Saibal, Mussoth, F. E. and Eyring, Edward M. : Submitted. J. Catal., July. 1983.
25. Kiviat, F. E and Petrakis, Leonidas : J. Phys. Chem., 77(1973), 1232.
26. Benfsi, H. A. and Winquist, B. H. C. : Advances in Catalysis vol. 27, p. 97, Academic Press.
27. Tanabe, K. : Catalysis vol. 2, p. 97, Springer-verlag, Berlin Heidelberg., New York. 1981.
28. Gates, B. C. Katzer, J. R. and Schuit, G. C. A. : "Chemistry of Catalytic Processes," McGraw-Hill, New York, 1979. p. 49.
29. Breck, D. W. : "Zeolite Molecular Sieve," Wiley, New York, 1974.
30. Moon, S. K. Yoo, K. O. and H. KimJ. : HWAHAK KONGHAK. 13(1975). 73.
31. Lee, D. K. Ha, B. H. and Moon, S. K. : HWAHAK KONGHAK. 8(1970), 231.
32. Kubokawa, Y. : J. Phys. Chem., 67(1963), 769.
33. Ibok, E. E. and Olliss, D. F. : J. Catal., 66(1980), 391.
34. Chan, C. M. Aris, R. and Weinberg, W. H. : Appl. Surf. Sci., 1(1978), 360.
35. Moon, S. K. Yoo, K. O. and Kim, H. J. : HWAHAK KONGHAK. 15(1977), 107.
36. Tokoro, Y. Uchijima, T. and Yoneda, Y. : J. Catalysis, 56(1979), 110.